

# 多系统萎缩的早期综合诊断

姚晴宇 许著一 孙杨 马涛 徐德恩

(南京医科大学附属无锡市第二人民医院神经内科 江苏无锡 214002)

**摘要 目的** 探讨多系统萎缩(multiple system atrophy, MSA)患者的临床表现及神经影像学新特征(脑桥“十字征”和“壳核裂隙征”)在MSA早期诊断中的临床意义。**方法**:回顾性分析21例临床诊断为多系统萎缩(MSA)患者的临床表现和头部MRI资料。**结果**:21例MSA患者中,Shy-Drager综合征(MSA-A)9例,早期临床表现为体位性低血压,泌尿生殖功能障碍,头部MRI检查脑桥“壳核裂隙征”和“十字征”为Ⅰ期;橄榄体脑桥小脑萎缩(MSA-C)5例,3例发病后1年头部MRI脑桥“十字征”达Ⅱ期;“壳核裂隙征”为Ⅲ期,2例发病后3年头部MRI脑桥“十字征”达Ⅳ期。黑质纹状体变性(MSA-P)7例:早期临床均有运动迟缓、震颤等表现,3例发病后1年脑桥“十字征”Ⅰ期,“壳核裂隙征”Ⅱ期;3例发病后2年脑桥“十字征”Ⅲ期,“壳核裂隙征”Ⅳ期;另1例发病后9月脑桥“十字征”Ⅲ期,“壳核裂隙征”Ⅳ期。**结论**:认为临床表现与头部MRI检查显示的新的影像学特征结合有助于MSA早期诊断。

**关键词**:多系统萎缩;磁共振成像;Shy-Drager综合征;橄榄体脑桥小脑萎缩;黑质纹状体变性

中图分类号 R741 文献标识码 A 文章编号 :1673-6273(2012)26-5117-03

## Early Comprehensive Diagnosis in Multiple System Atrophy

YAO Qing-yu, XU Zhu-yi, SUN Yang, MA Tao, XU De-en

(Department of Neurology, Wuxi Second Renmin Hospital Affiliated to Nanjing Medical University, Wuxi Jiangsu, 214002, China)

**ABSTRACT Objective:** To analyze the clinical manifestations as well as correlation between clinical manifestations and the new neuroimage characteristics (pontine "cross sign" and "putaminal slit") for early diagnosis of MSA. **Methods:** 21 patients with diagnostic as multiple system atrophy (MSA) were retrospectively analyzed for clinical manifestations and brain MRI findings. **Results:** In 21 patients with MSA, 9 patients were MSA-A, early clinical manifestations of orthostatic hypotension, urogenital dysfunction, MRI showed stage "Cross sign" and "putaminal slit". 5 patients were MSA-C, early clinical appear unstable walking, ataxia and other performance, MRI showed stage "Cross sign" and stage "putaminal slit" after onset. 7 patients were MSA-P, early clinical are bradykinesia, tremor and other performance, 3 patients reached stage "Cross sign" and stage "putaminal slit" one years after onset, 3 patient reached stage "Cross sign" and stage "putaminal slit" two years after onset, another patient reached stage "Cross sign" and stage "putaminal slit" nine months after onset. **Conclusions:** Clinical manifestations and the new neuroimage characteristics were very important for early diagnosis of MSA.

**Key words:** MSA; MRI; Shy-Drager syndrome; Olivopontocerebellar atrophy; Striatonigral degeneration

**Chinese Library Classification(CLC):** R741 **Document code:** A

**Article ID:**1673-6273(2012)26-5117-03

多系统萎缩(multiple system atrophy, MSA)是一组病因不明的神经系统疾病,临床主要表现为植物神经功能障碍、帕金森综合征、共济失调和锥体外系功能损害等。本病早期缺乏典型的特征,相关症状出现较慢,易与体位性低血压、晕厥、帕金森病、进行性核上性麻痹等混淆,误诊率高。“十字征”和“壳核裂隙征”是近年随着影像学技术发展在MSA患者中发现的新的神经影像学表现<sup>[1]</sup>。2002年Horimoto等<sup>[2]</sup>评价了这些改变出现的时期与临床及分型的关系。本研究回顾性分析了我科收治的21例临床诊断MSA患者的临床表现和影像学特点,探讨其在MSA早期诊断中的临床意义。

### 1 对象和方法

#### 1.1 研究对象

作者简介 姚晴宇(1973-)男 副主任医师 研究方向 神经内科临床 电话 :13861780021 ,E-mail:yaoqy01@163.com  
(收稿日期 2012-04-06 接受日期 2012-04-31 )

选择我院神经内科2003年1月-2008年10月期间出院诊断为MSA患者21例,其中男性13例,女性8例,发病年龄40-63岁,平均(51±10.5)岁,从起病到临床诊断病程0.6-4年,平均2.3年。根据1999年Gilman<sup>[1]</sup>等提出的MSA的临床特征和诊断标准,均无家族史,无酒精中毒及服用苯妥英钠史,无高血压病史,无明确的全身性疾病或其他原因导致的上述本病特征;头部MRI检查除外后颅窝病变及先天性畸形。

#### 1.2 诊断标准

根据Gilman<sup>[1]</sup>关于MSA的诊断分为:(1)可疑:植物神经/排尿功能障碍、帕金森综合征、小脑症状和皮质脊髓束受损征四大类中,有一项功能障碍加其它项中的2个特征。(2)拟诊:植物神经/排尿功能障碍加对左旋多巴反应差的帕金森综合征或小脑功能障碍。(3)确诊:病理学存在高密度的少突胶质细胞胞质包涵体并伴有黑质纹状体和橄榄桥脑小脑通路的改变。

#### 1.3 头部MRI脑桥“十字征”和“壳核裂隙征”分期

依据Horimoto<sup>[2]</sup>等提出的分期方法:(1)脑桥T2像的“十字征”改变分为6期:0期,无改变;Ⅰ期,T2WI垂直高信号开始出

现 ;II 期 ,清晰的 T2WI 垂直高信号出现 ; 期 ,T2WI 水平高信号 ,继垂直信号开始出现 ;IV 期 ,水平和垂直高信号均清晰可见 ;V 期 ,脑桥腹侧水平高信号线的前方高信号或脑桥基底部萎缩。(2)“壳核裂隙征”分成 4 期 0 期 ,无改变 ;I 期 ,裂隙状高信号位于一侧壳核 ;II 期 ,裂隙状高信号位于双侧壳核 ,但一侧比另一侧信号弱 ; 期 ,裂隙状高信号位于双侧壳核 ,信号强度相同。

## 2 结果

### 2.1 临床表现

本组 21 例患者中 Shy-Drager 综合征 (MSA-A)9 例 ,橄榄体脑桥小脑萎缩 (MSA-C) 型 5 例 黑质纹状体变性 (MSA-P) 型 7 例。首发症状 : 以自主神经功能障碍起病者 9 例 ,表现为排尿困难、体位性低血压等症状 ; 以小脑症状起病者 5 例 ,表现为行走不稳、言语不清 ; 以帕金森综合征症状起病者 7 例 ,表现为运动迟缓。(见表 1)①自主神经功能障碍 : 以尿便障碍为最常

见 ,其中尿失禁 5 例 ,不完全性膀胱排空 3 例 ,便秘 1 例 ,直立性低血压 6 例。在 6 例直立性低血压男性患者中 ,有 5 例表现为性功能障碍。②小脑性共济失调 5 例患者均有小脑症状 ,以共济失调为主 ,其中 3 例患者出现眼球震颤和意向性震颤。③帕金森综合征 7 例患者均有帕金森综合征的表现 ,均存在强直 ,其中 5 例表现运动迟缓 2 例表现震颤。

### 2.2 头部 MRI 检查结果

21 例 MSA 患者中 ,“十字征” 期 16 例 , 期 3 例 , 期 2 例 ;“壳核裂隙征” 期 15 例 , 期 1 例 , 期 3 例。Shy-Drager 综合征 9 例 ,头部 MRI 检查脑桥“壳核裂隙征”和“十字征”为期 ; 橄榄体脑桥小脑萎缩 5 例 3 例发病后 1 年头部 MRI 脑桥“十字征”达 期 ;“壳核裂隙征”为 期 2 例发病后 3 年头部 MRI 脑桥“十字征”达 期。黑质纹状体变性 7 例 3 例发病后 4 年脑桥“十字征” 期 ,“壳核裂隙征” 期 3 例发病后 2 年脑桥“十字征” 期 ,“壳核裂隙征” 期 ; 另 1 例发病后 3 年脑桥“十字征” 期 ,“壳核裂隙征” 期。(见图 1)。

表 1 21 例多系统萎缩 (MSA) 患者临床表现和分型

Table 1 Manifestations and classification of 21 MSA cases

Clinical classification	Number of case	Age of onset(y)	Course of disease(y)	First symptom	Symptom	Signs
MSA-C	5	40-62	0.5-4	Unsteady gait	Unsteady gait, pitch change, drinking cough	Dysarthria, horizontal nystagmus, bilateral refers to nose with knee-skin test instability, can not walk a straight line
MSA-P	7	8-60	0.5-3.5	Bradykinesia	Bradykinesia, talk reduce, reduce facial expressions	Slow motion, speak slowly, dull expression, increased lead-pipe
MSA-A	9	48-63	0.5-3.2	Orthostatic dizziness	Orthostatic dizziness, urinary dysfunction	Orthostatic hypotension, decreased blood pressure after standing for more than 30 mmHg, voiding dysfunction, constipation

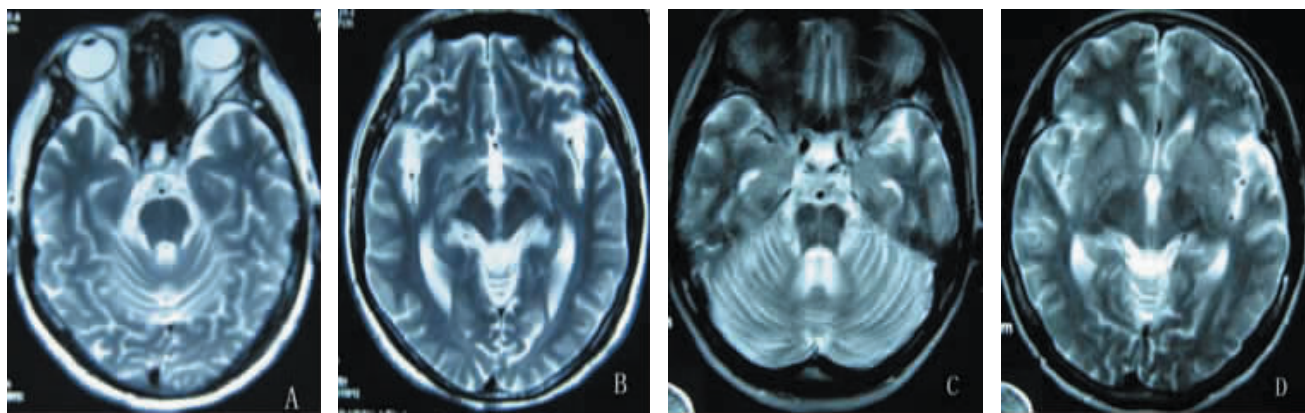


图 1 多系统萎缩患者头颅 MRI

Fig.1 Cranial MRI in patients with multiple system atrophy

A “Pontine” cross sign” ,T2WI 垂直高信号开始出现 脑桥 “ 十字征 ” 期 ,T2WI 垂直高信号开始出现 ;B “Pontine” cross sign” ,T2WI 清晰的 T2WI 垂直高信号出现 ;C “Pontine” cross sign” ,T2WI 高信号在水平和垂直可见 ;D “Putaminal slit” ,Slit-like high signal intensity in the bilateral putamen “ 壳核裂隙征 ” 期 ,裂隙状高信号位于双侧壳核。

### 3 讨论

多系统萎缩( MSA)是一组在中老年人群中散发的中枢神经系统变性疾病 ,以神经系统不同部位受累的临床表现为首发症状 经常以某一系统损害为突出表现 临床进展缓慢 ,使早期诊断比较困难。MSA-A 以植物神经功能障碍为主 泌尿生殖系统症状、直立性低血压可能预示着 MSA 的开始<sup>[3-4]</sup>。MSA-P 早期主要表现为运动不能、僵硬、颤抖、姿势稳定性损害及头颈肌张力障碍<sup>[3-5]</sup> , 在早期诊断中此类病人往往误诊帕金森病<sup>[7]</sup> , MSA-C 早期表现主要以进行性步态和肢体共济失调、构音障碍、小脑性眼球功能损害<sup>[8]</sup>。最近一项对 MRI 与 18F- 脱氧葡萄糖 PET 相比较研究表明 , 后者对区分 MSA-P 与 PD 的敏感性高<sup>[9]</sup>。最近发现 ,一些警示性症状如颈项前屈、吸气喘鸣和眼球运动异常已建议指向早期 MSA 诊断<sup>[10-11]</sup>。随着 MRI 的发展 , 常规磁共振可支持 MSA 的诊断<sup>[12-13]</sup> , 它可显示壳核、小脑中脚和脑桥的萎缩<sup>[14]</sup>。曾经认为磁共振 T2 像的单独异常信号(十字征)是 MSA-C 的典型表现 ,但是自从 MSA-P 病人也出现了十字征后 ,十字征已被认为是诊断 MSA 病人的典型特征<sup>[15-16]</sup>。“十字征”的机制是脑桥核及桥横纤维变性 ,上述解剖位置含水量增加 ,而齿状核发出的小脑上脚和锥体束并未受损之故 ,从而形成 MRI 上 T2 加权像上脑桥的十字形高信号影。“壳核裂隙征”反映了铁沉积或组织密度的降低。Konagaya 等<sup>[17]</sup>认为这是由于壳核萎缩及壳核与外囊增大的间隙内胶质细胞活化增生的结果。虽然壳核后外侧低信号在 PD 和 MSA 患者中都可出现 ,但是壳核外侧缘缝隙样 T2 高信号和壳核萎缩同时出现却对诊断 MSA 有着很高的特异性<sup>[18-19]</sup>。

本组病人中 MSA-A 组早期临床表现均以体位性低血压 , 泌尿生殖功能障碍为主 ,有 1 例病人因反复尿频、尿急就诊于泌尿外科 2 例病人因晕厥就诊于心内科 ,病程在平均 1.7 年左右头颅 MRI 开始出现“十字征”。MSA-P 早期临床均有运动迟缓、震颤等表现 ,早期易误诊为“帕金森病”但服用“左旋多巴”效果差 本组有 2 例病人在外院诊断为帕金森病 ,服用左旋多巴 1 年左右未见效果 ,病程在 9 个月左右头颅 MRI 出现“壳核裂隙征” ,1 年左右有“十字征”出现。MSA-C 早期临床出现行走不稳、共济失调等表现 ,但需排除小脑症状 ,头颅 MRI 出现“十字征”较早 本组中最早在 1 年左右出现。本组所有患者均存在“十字征”和“壳核裂隙征”。因此 ,在本研究组中我们结合 MSA 早期可能出现的临床症状及 MRI 表现 ,使得本组病人的平均早期临床诊断率在 10 个月左右 ,大大提高了 MSA 的早期诊断 ,从而尽可能改善患者的生存质量。

综上所述 MSA 的确诊需要神经病理学证实 ,由于临床病理取材困难 ,MSA 的临床诊断主要依靠临床表现和影像学资料 我们认为结合本组病人 ,详细的临床表现及体征 ,结合头颅 MRI 上影像学特征 ,有助于 MSA 早期诊断 ,近期研究发现随着影像学技术的发展 ,PET 技术的应用对 MSA 早期诊断也有帮助 ,通过统计学参数表明 18F- 脱氧葡萄糖 PET 的技术有助于鉴别 PD 和帕金森病的诊断和确认 MSA-C 病人皮层区低代谢改变<sup>[20]</sup> ,同时它揭示了在 MSA 病人进展变化过程中皮层及皮层下的改变<sup>[21]</sup> ,但 PET 昂贵的费用限制了它的临床普及应用。

### 参考文献(References)

- [1] Gilman S, Low PA, Quinn N, et al. Consensus statement on the diagnosis of multiple system atrophy[J]. J Neurol Sci, 1999, 163(1):94-98
- [2] Horimoto Y, Aiba IK, Yasuda T, et al. Longitudinal MRI study of multiple system atrophy: when do the findings appear, and what is the course[J]. J Neurology, 2002, 249(7): 847-854
- [3] Wenning GK, Colosimo C, Geser F, et al. Multiple system atrophy[J]. Lancet Neurol, 2004, 3(2): 93-103
- [4] Williams DR, Lees AJ. How do patients with parkinsonism present? A clinicopathological study[J]. Intern Med, 2009, 39(1):7-12
- [5] Boeve SM, Wenning GK, Ransmayr, et al. Dystonia in multiple system atrophy[J]. Neurology Psychiatry, 2002, 72(2):300-303
- [6] Gilman S, Wenning GK, Low PA, et al. Second consensus statement on the diagnosis of multiple system atrophy[J]. Neurology, 2008, 71(9):670-676
- [7] Wenning GK, Ben Shlomo Y, Hughes A, et al. What clinical features are most useful to distinguish definite multiple system atrophy from Parkinson's disease[J]. Neurol Neurosurg Psychiatry, 2000, 68(4):434-440
- [8] Watanabe H, Saito Y, Terao S, et al. Progression and prognosis in multiple system atrophy an analysis of 230 Japanese patients [J]. Brain, 2002, 125(5):1070-1083
- [9] Kwon KY, Choi CG, Kim JS, et al. Comparison of brain MRI and 18F-FDG PET in the differential diagnosis of multiple system atrophy from Parkinson's disease[J]. Mov Disord, 2007, 22(16):2352-2358
- [10] Anderson T, Luxon L, Quinn N, et al. Oculomotor function in multiple system atrophy: clinical and laboratory features in 30 patients [J]. Mov Disord, 2008, 23(7):977-984
- [11] Kollensperger M, Geser F, Seppi K, et al. Red flags for multiple system atrophy[J]. Mov Disord, 2008, 23(8):1093-1099
- [12] Seppi K, Schocke MF, Mair KJ, et al. Progression of putaminal degeneration in multiple system atrophy: a serial diffusion MR study[J]. Neuroimage, 2006, 31(1):240-245
- [13] Sitburana O, Ondo WG. Brain magnetic resonance imaging (MRI) in parkinsonian disorders[J]. Parkinsonism Relat Disord, 2009, 15(3):165-174
- [14] Seppi K, Schocke MF, Wenning GK, et al. How to diagnose MSA early: the role of magnetic resonance imaging [J]. J Neural Transm, 2005, 112(12):1625-1634
- [15] Schott JM, Simon JE, Fox NC, et al. Delineating the sites and progression of in vivo atrophy in multiple system atrophy using fluid-registered MRI[J]. Mov Disord, 2003, 18(8):955-958
- [16] Naka H, Ohshima T, Murata Y, et al. Characteristic MRI findings in multiple system atrophy: comparison of the three subtypes[J]. Neuroradiology, 2002, 44(3):204-209
- [17] Konagaya M, Saka M, Matsuoka Y, et al. Pathological correlate of the slit-like change on MRI at the putaminal margin in multiple system atrophy[J]. J Neurol, 1999, 246(2):142-143
- [18] Yekhlef F, Ballan G, Macia F, et al. Routine MRI for the differential diagnosis of Parkinson's disease, MSA, PSP, and CBD[J]. J Neural Transm, 2003, 110(2):151-169

(下转第 5125 页)

总之,我们认为对于复位后骨折情况稳定的患者,可以运用石膏夹板固定可获得满意效果;对于桡骨远端骨折不稳定者,采用切开复位后T形钢板内固定,不但可以维持桡骨的长度,而且可以提早进行功能锻炼,使得关节功能得以恢复,其恢复时间明显缩短,获得较好的疗效。

#### 参考文献(References)

- [1] Waters PM, Mintzer CM, Hipp JA, et al. Noninvasive distal radius instability[J]. J Hand Surg Am, 1997, 22(12): 572-579
- [2] 荣绍远,苏敏,高正言,等.桡骨远端骨折治疗的选择[J].现代生物医学进展,2011,11(4):764-767  
Rong Sao-yuan, Su Min, Gao Zheng-yan, et al. Proximal Humeral Internal Locking System for Humeral Proximal Fractures of Elderly Patients[J]. Progress in Modern Biomedicine, 2011, 11(4):764-767
- [3] Dumont C, Fuchs M, Folwaczny EK, et al. Results of palmar T plate osteosynthesis in unstable fractures of the distal radius [J]. Chirurg, 2003, 74(9):827-833
- [4] Letsch R, Infanger M, Schmidt J, et al. Surgical treatment of fractures of the distal radius with plates: a comparison of palmar and dorsal plate position[J]. Arch Orthop Trauma Surg, 2003, 123(7):333-339
- [5] Shea KS, Fernandez DL, Jupiter JB, et al. Corrective osteotomy for malunited displaced fracture of the distal end of the radius [J]. J Bone Joint Surg Am, 1997, 79(12):1816-1826
- [6] 熊学华,许月莲,王克刚,等.桡骨远端骨折不同治疗方法临床疗效比较[J].中国矫形外科杂志,2007,15(16):1221-1223  
Xiong Xue-hua, Xu Yue-lian, Wang Ke-gang, et al. Effect comparison on the fracture of distal radius by three different fixations [J]. Orthopedic Journal of China, 2007, 15(16):1221-1223
- [7] 姜新.桡骨远端骨折T形钢板内固定与石膏夹板外固定疗效比较[J].中国中医骨伤科杂志,2006,14(2): 27-29  
Jiang Xin. Comparison on curative effects in treating distal radius fractures by T plate and Plaster splint[J]. Chinese Journal of Orthopaedics and Traumatology, 2006, 14(2):27-29
- [8] 周成洪,龙亨国,马一平.夹板固定与石膏固定治疗桡骨远端关节外骨折的疗效比较[J].中国骨伤,2007,20(7): 474-475  
Zhou Cheng-hong, Long Heng-guo, Ma Yi-ping. Comparison of therapy effect between splint and plaster fixation in treating extra-articular distal radial fractures[J]. Chinese Journal of Orthopaedics and Traumatology, 2007, 20(7): 474-475
- [9] 姜保国,张殿英,傅中国,等.老年桡骨远端骨折的治疗方法 [J].中华骨科杂志,2004, 24(11):645-648  
Jiang Bao-guo, Zhang Dian-ying, Fu Zhong-guo, et al. The treatment of distal radius fractures in aged patients [J]. Chinese Journal of Orthopaedics, 2004, 24(11):645-648
- [10] 任继鑫,刘智,孙天胜,等.锁定加压钢板内固定治疗中老年女性桡骨远端粉碎性骨折[J].中华创伤骨科杂志,2006, 8(3):229-232  
Ren Ji-xin, Liu Zhi, Sun Tian-sheng, et al. Treatment of comminuted distal radius fractures of elderly women with locking compression plate [J]. Chinese Journal of Orthopaedic Trauma, 2006, 8(3): 229-232
- [11] Furia JP, Alioto RJ, Marquardt JD. The efficacy and safety of the hematoma block for fracture reduction in closed isolated fractures [J]. Orthop, 1997, 20(5):423-426
- [12] Leung F, Zhu L, Ho H, et al. Palmar plate fixation of AO type C2 fracture of distal radius using a locking compression plate:a biomechanical study in a cadaveric model [J]. J Hand Surg(Br), 2003, 28(3): 263-266
- [13] Cooney WP. Fracture of the distal radius: A modern treatment-based classification[J]. Orthop clin North Am, 1993, 24:211-216
- [14] 李文壮,蔡湘波,白卫东,等.两种方法治疗桡骨远端不稳定骨折的疗效比较[J].实用手外科杂志,2008, 22(3):152-154  
Li Wen-zhuang, Cai Xiang-bo, Bai Wei-dong, et al. Comparison study for treatment of unstable distal radius fractures with two methods [J]. Journal of practical hand surgery, 2008, 22(3):152-154
- [15] 胡方清,毛坤祥,裴谊波,等.闭合复位经皮克氏针内固定治疗桡骨远端骨折的临床观察 [J].现代生物医学进展, 2009, 9(23): 4516-4517  
Hu Fang-qing, Mao Kun-xiang, Pei Yi-bo, et al. Clinical research of closed reduction and internal fixation with Kirschner wires treating distal radial fracture[J]. Progress in Modern Biomedicine, 2009, 9(23): 4516-4517

(上接第 5119 页)

- [19] Lee EA, Cho HI, Kim SS, et al. Comparison of magnetic resonance imaging in subtypes of multiple system atrophy[J]. Parkinson and Rel Disord, 2004, 10(6): 363-368
- [20] Lee PH, An YS, Yong SW, et al. Cortical metabolic changes in the cerebellar variant of multiple system atrophy: a voxel-based FDG-PET study in 41 patients[J]. Neuroimage, 2008, 40(2):796-801
- [21] Lyoo CH, Jeong Y, Ryu YH, et al. Effects of disease duration on the clinical features and brain glucose metabolism in patients with mixed type multiple system atrophy[J]. Brain, 2008, 131(Pt 2):438-446